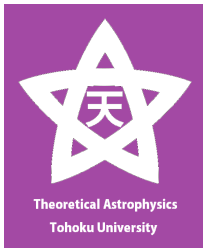




Frontier Research Institute for Interdisciplinary Sciences  
Tohoku University



# ブラックホールと中性子星の 周辺におけるプラズマ物理

當真賢二  
(TOMA Kenji)

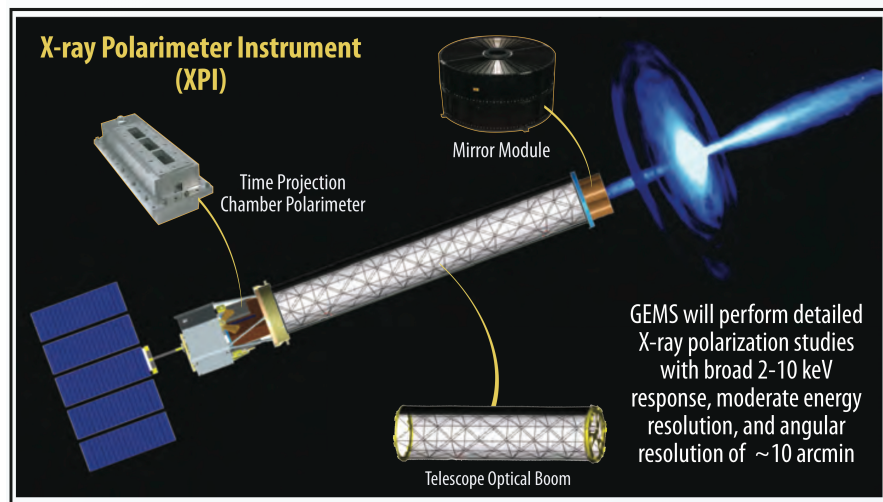
東北大学学際科学フロンティア研究所

# Outline

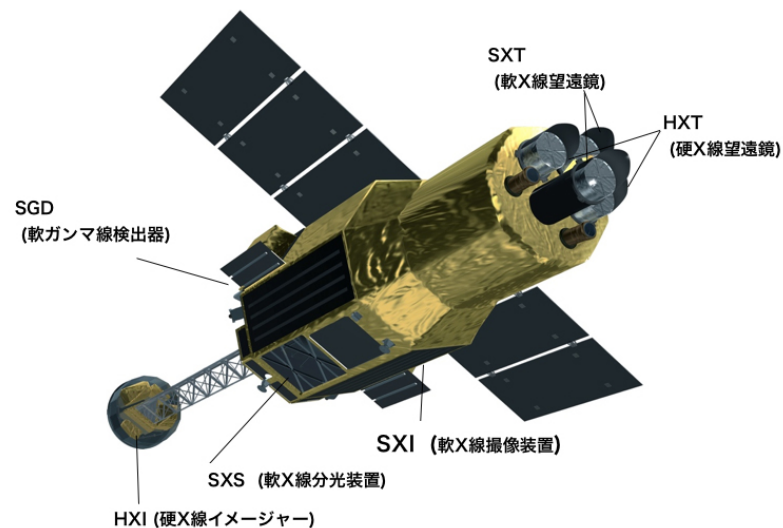
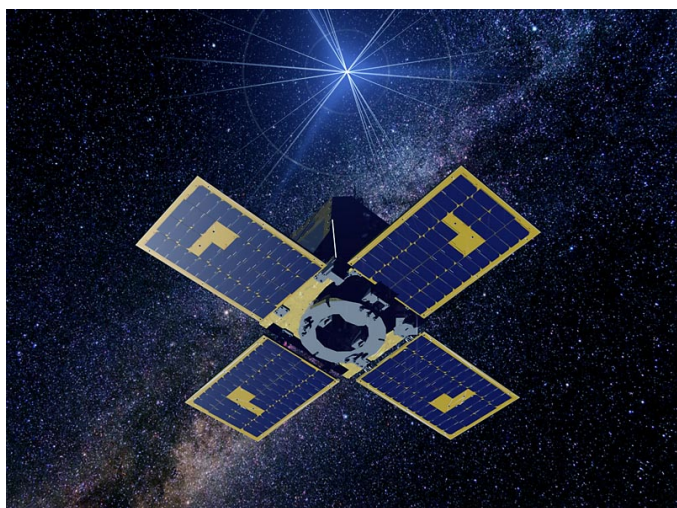
1. 偏光： $X$ 線・ $\gamma$ 線観測のフロンティア
  - BH時空の検証、強磁場中のQEDの検証
  - $\gamma$ 線バーストの放射メカニズム
2. BHジェットの駆動メカニズム：一般相対論とプラズマ物理の境界にある問題
  - パルサー風
  - Blandford-Znajek process

# 1. 偏光：X線・ $\gamma$ 線観測のフロンティア

# 多くの衛星計画

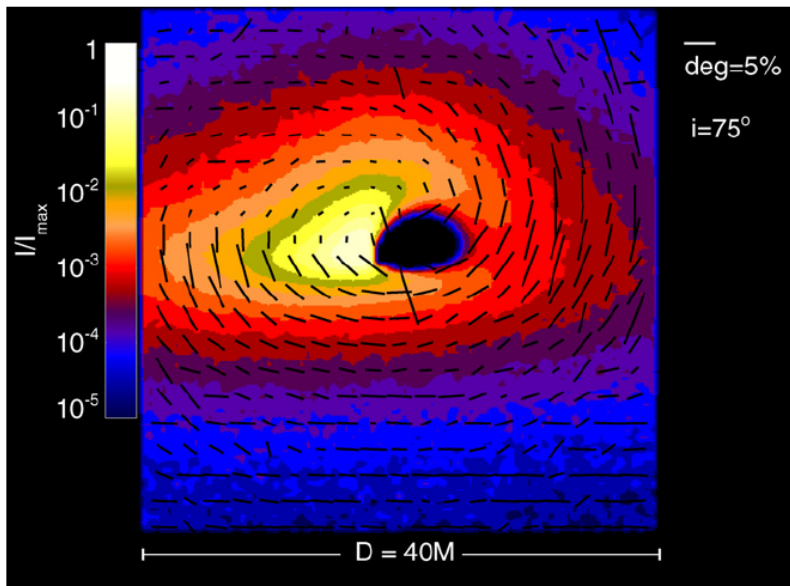


- GEMS, IXPE, PolariS, PolSTAR
- POET, POLAR, SPHiNX, GAP2
- Astro-H/SGD



- GAP, PoGOLite, Tsubame

# BH時空の観測的検証



(Schnittman & Krolik 2009)

- X線連星の明るい状態
- 標準円盤、散乱>>吸収→直線偏光 (Chandrasekhar 1960)
- 一般相対論的効果 (Stark & Connors 1977; Li+2009; Schnittman & Krolik 2009)

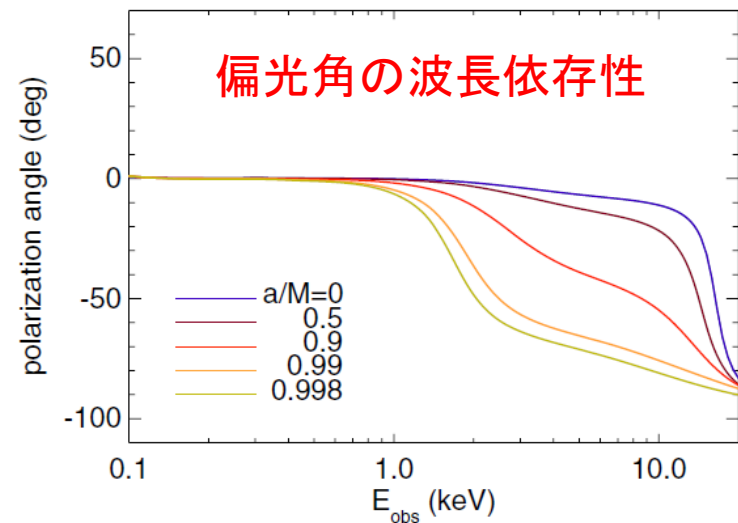
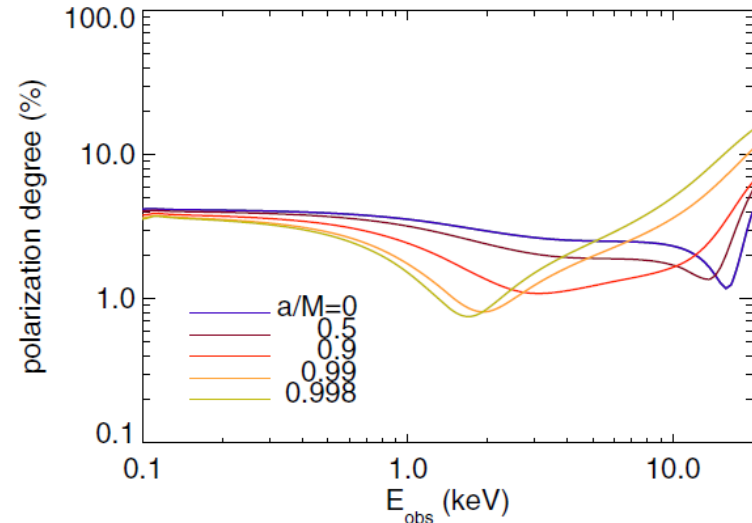


Figure 7. Polarization degree and angle for a range of BH spin parameters. All systems have inclination  $i = 75^\circ$ , BH mass  $10 M_\odot$ , luminosity  $L/L_{\text{Edd}} = 0.1$ , and Novikov–Thorne radial emission profiles.

# 強磁場中のQEDの検証

- 強磁場中性子星の熱放射

$$E < \hbar \frac{eB}{m_e c} = 11.6 B_{12} \text{ keV}$$

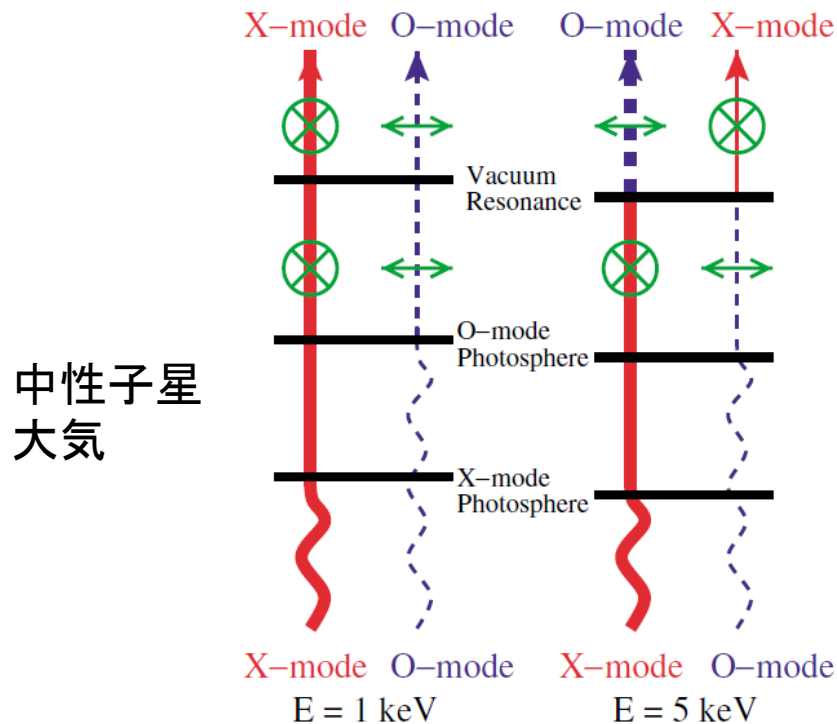
- ⇒ 基本モードは直線偏光
- 磁場に垂直なモードは散乱されにくい

真空偏極

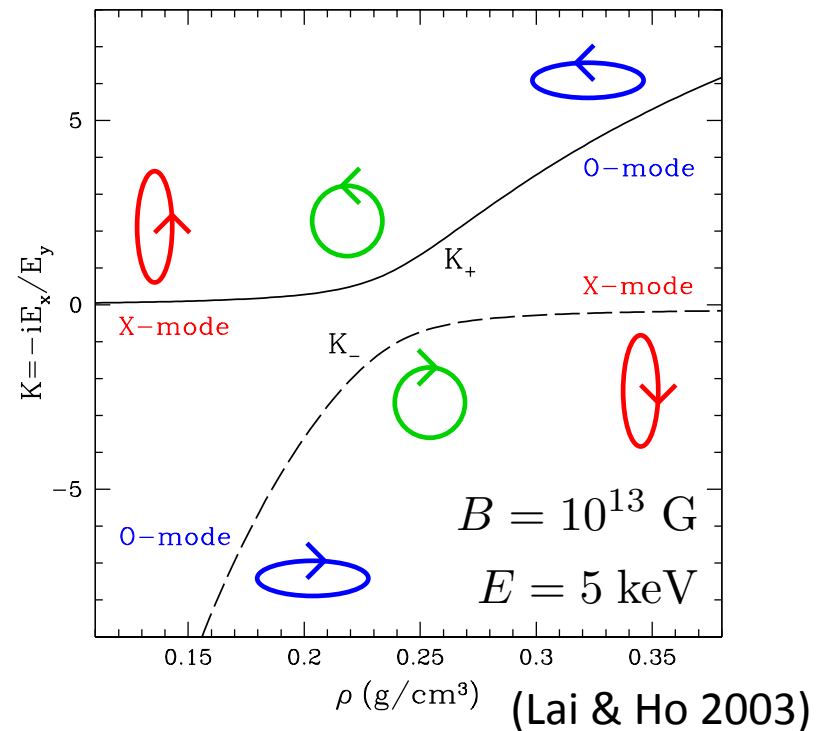


強磁場の影響

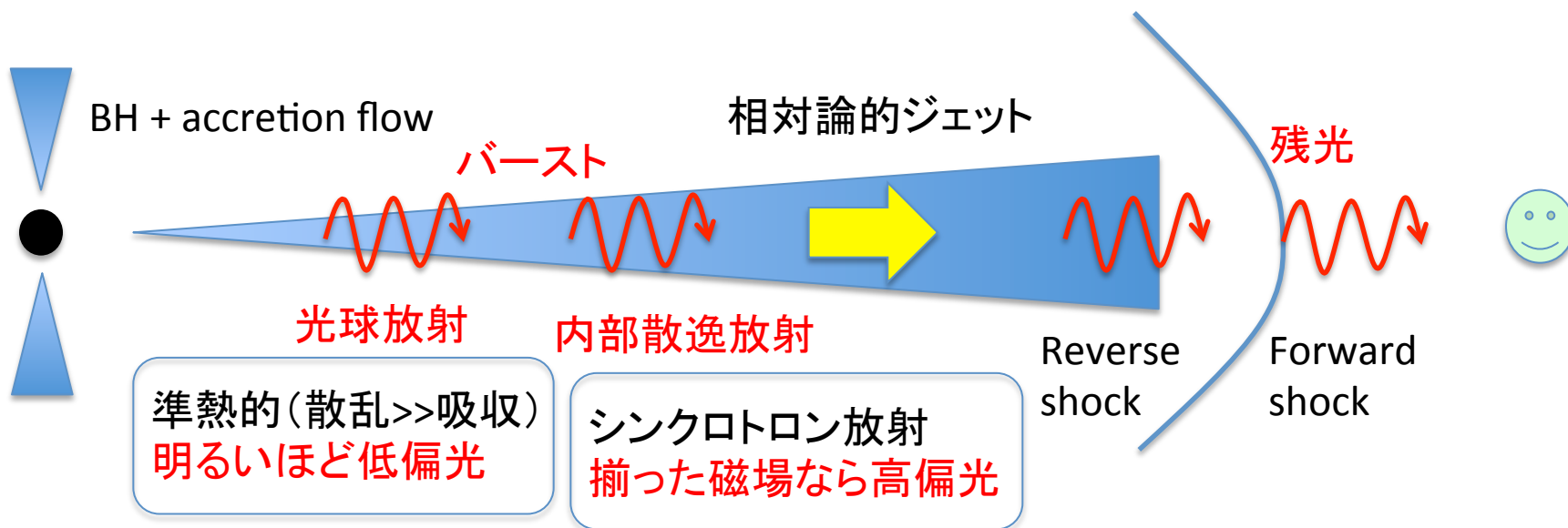
モード変換による偏光角のエネルギー依存



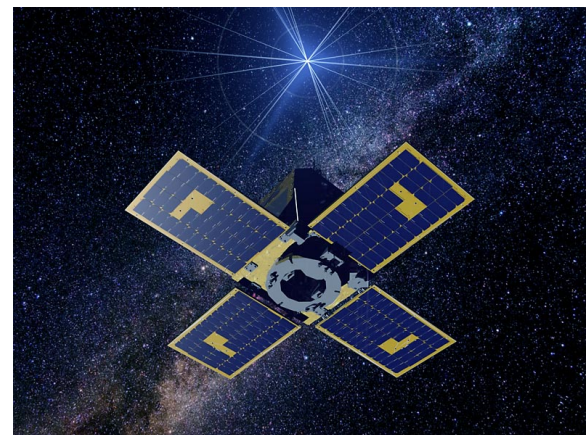
プラズマ偏極優勢 真空偏極優勢



# ガンマ線バーストの放射機構

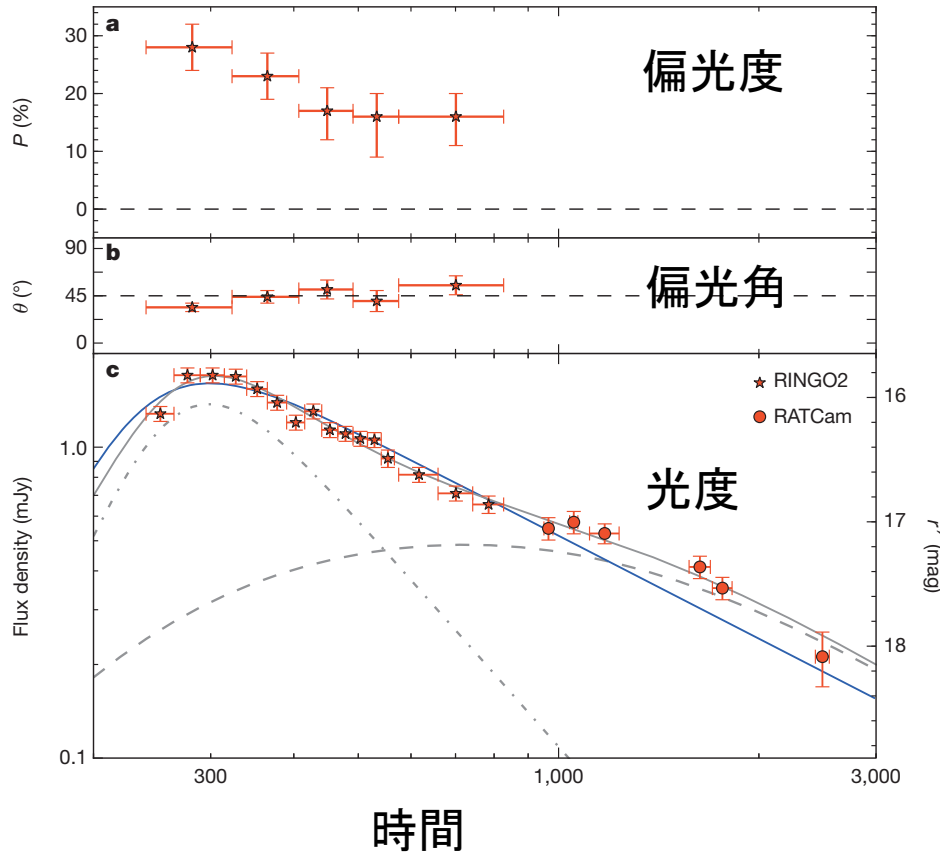


- GAPの $\gamma$ 線偏光観測 (Yonetoku+2011;2012)
- 明るい3例から高偏光( $P>30\%$ ;  $2\sigma$ )を検出
- シンクロトロン放射、磁場駆動ジェットを示唆 (KT 2013)
- Tsubame(東工大)に期待
- バーストの可視偏光は未だ観測できていない

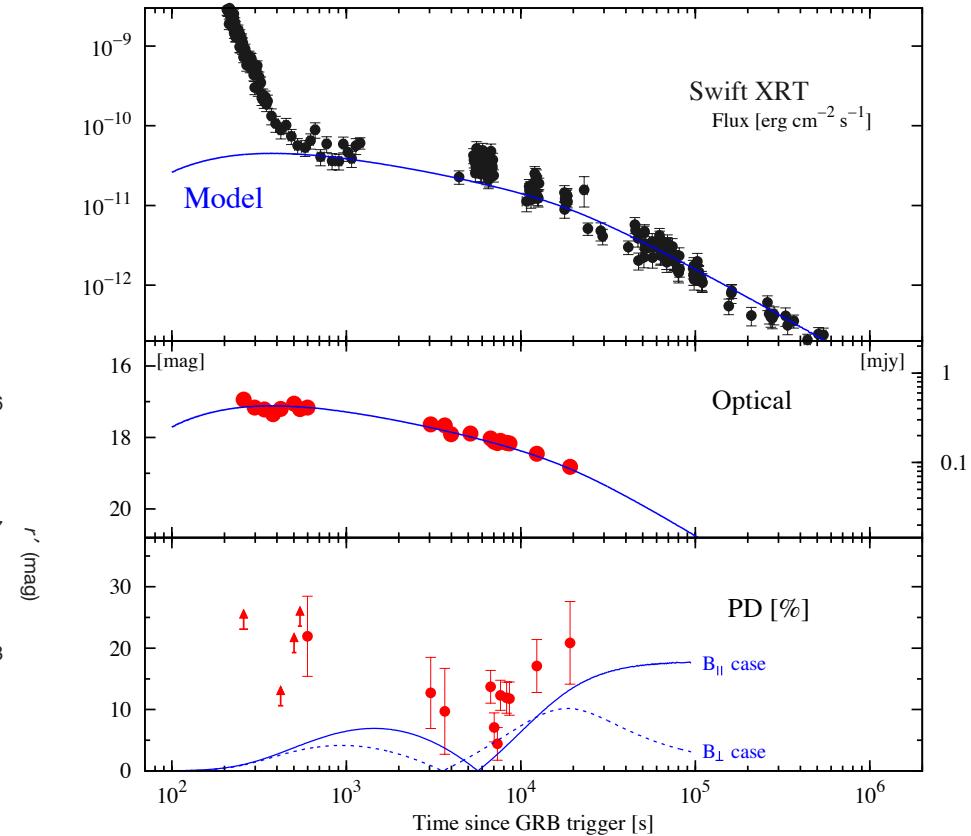


# 残光の可視偏光

(Mundell+2013 Nature)



(Takaki, KT, Kawabata+ in prep.)

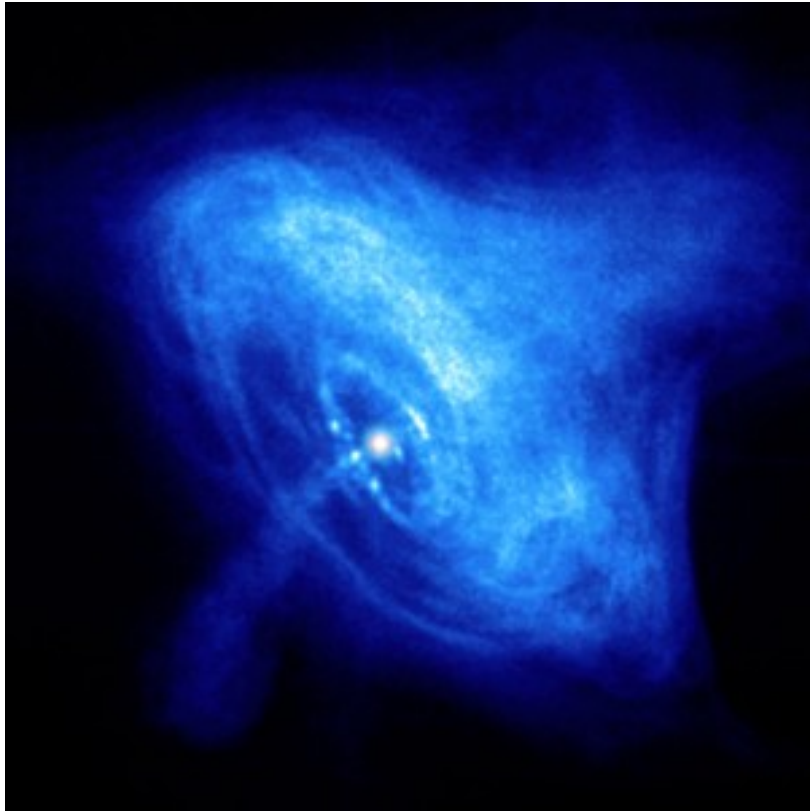


広島大かなた望遠鏡による結果

- 早期の可視残光が  $P > 20\%$   $\Leftrightarrow$  1日後では  $P \sim 1-3\%$  (Covino+ 2004)
- 後期可視残光から円偏光  $P_c/P_l \cong 0.15$  (Wiersema, Covino, KT+2013 Nature)

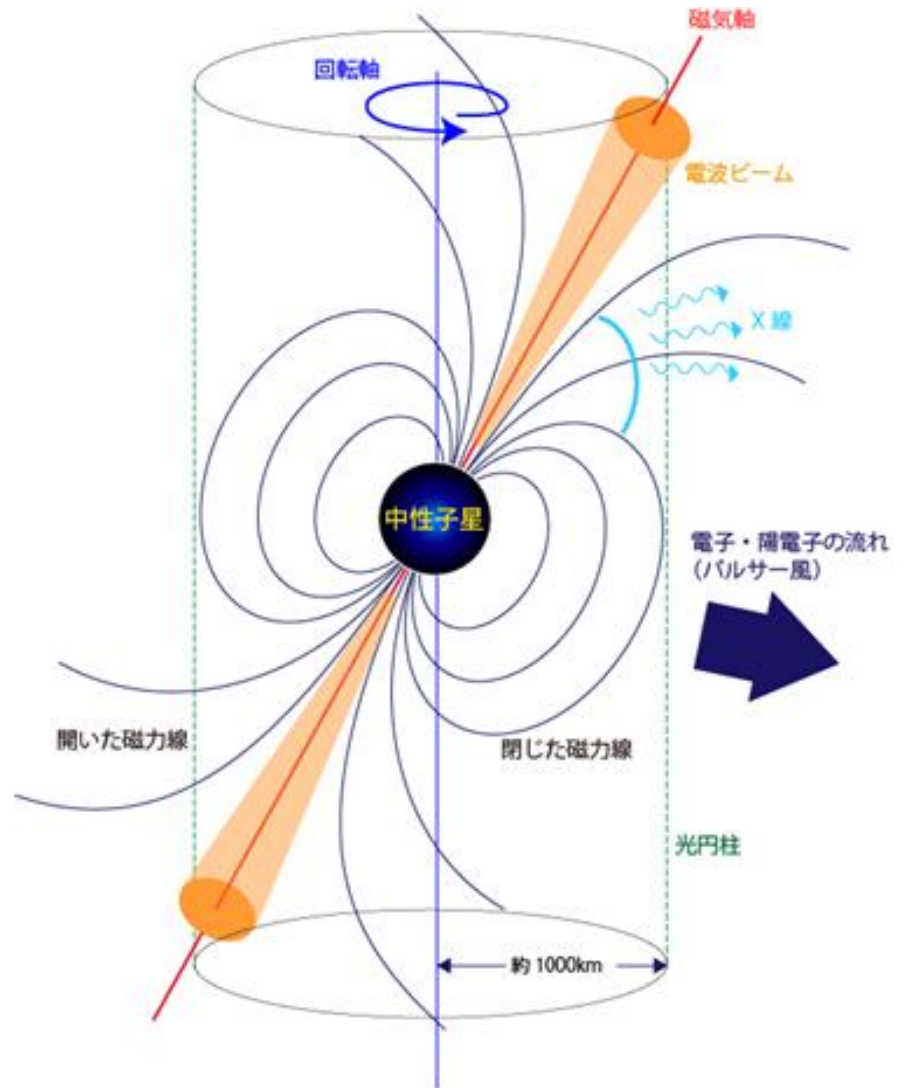
## 2. BHジェットの駆動機構：一般相対論 とプラズマ物理の境界にある問題

# パルサー風

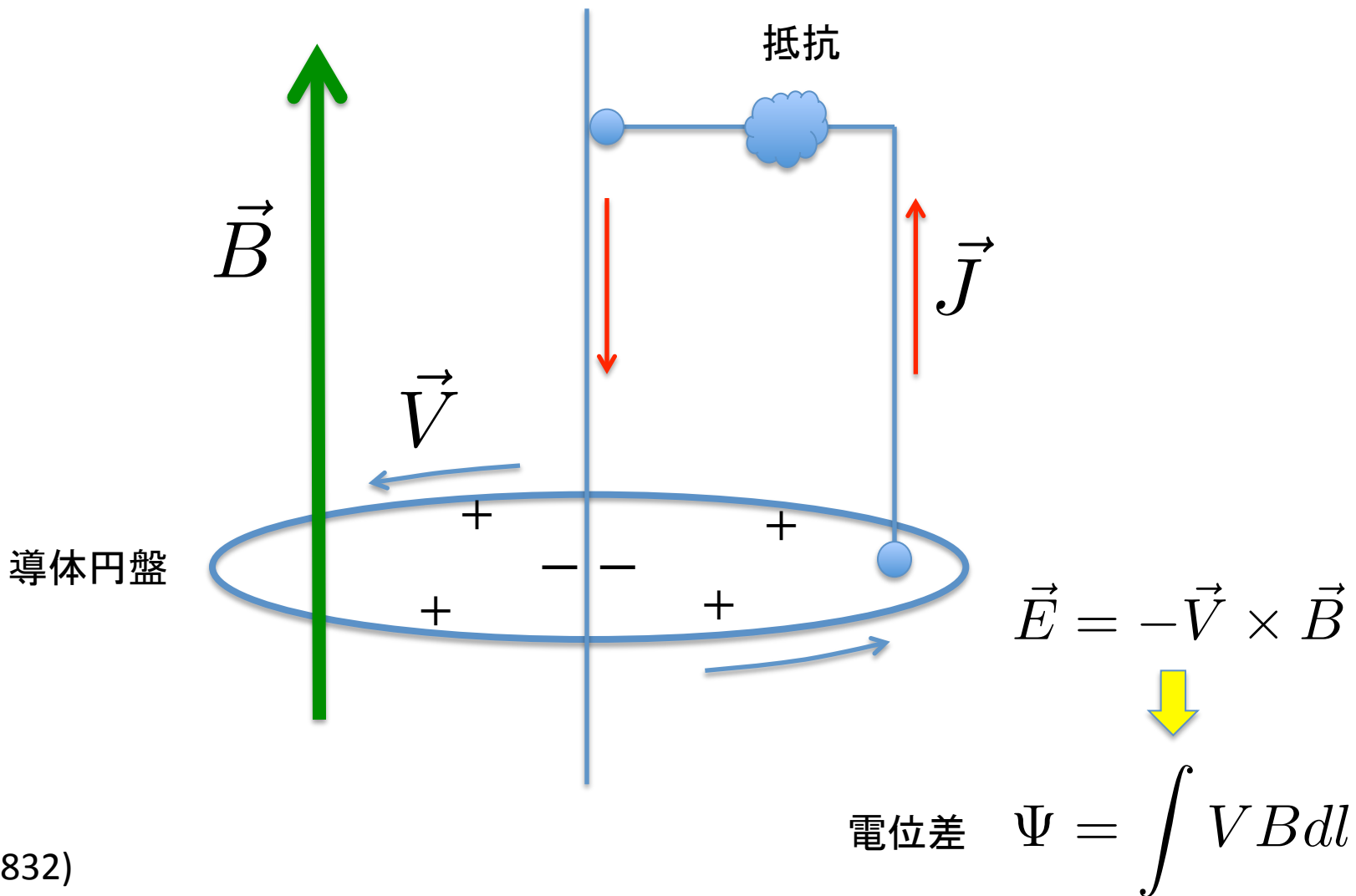


$$\gamma \sim 10^6 ?$$

(Kennel & Coroniti 1984;  
S.J. Tanaka & Takahara 2010; 2013)



# 單極誘導



(Faraday 1832)

# Goldreich & Julian (1969) model

- 定常軸対称
- 星は伝導体で物質エネルギー優勢
- 星外は磁場優勢だが粒子で満たされ

$$\vec{E} \cdot \vec{B} = 0$$



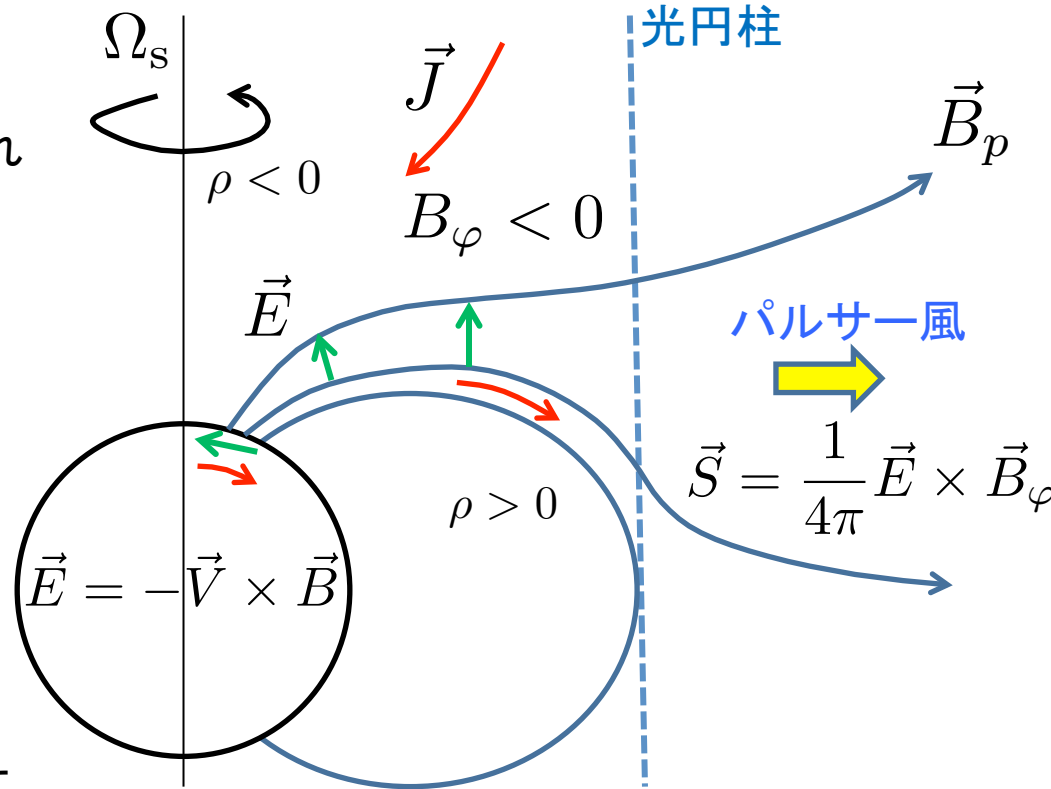
$$\vec{E} = -\varpi \Omega_F \vec{e}_\varphi \times \vec{B}$$



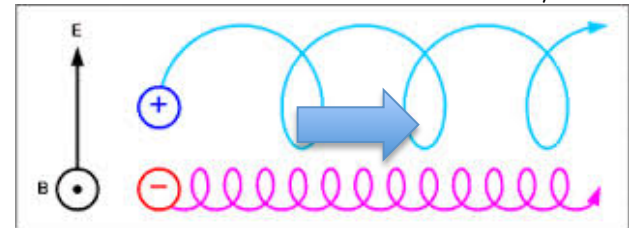
$$\Omega_F = \Omega_s$$

- 星の回転が磁気圏に電位差を作る
- 粒子は  $\vec{E} \times \vec{B}$  ドリフトで共回転か磁場に沿って運動
- 光円柱の存在  $\Rightarrow B_\phi \neq 0$
- 星の回転が電流を駆動

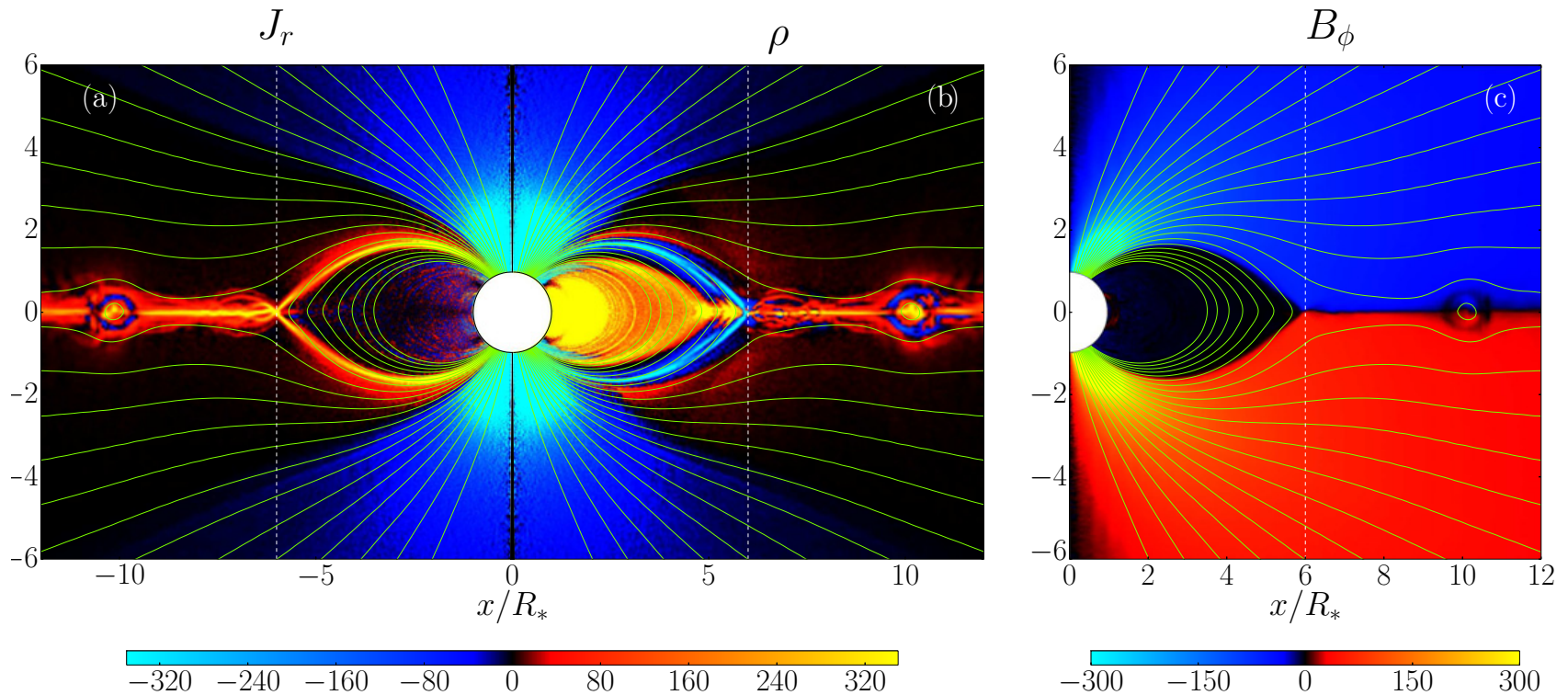
$$\vec{\nabla} \cdot \vec{S} = -\vec{E} \cdot \vec{J} = -(\vec{J} \times \vec{B}_p) \cdot \vec{V}_\varphi$$



$\vec{E} \times \vec{B}$  ドリフト  $\vec{v}_d = \vec{E} \times \vec{B} / B^2$



# Particle In Cell Simulation

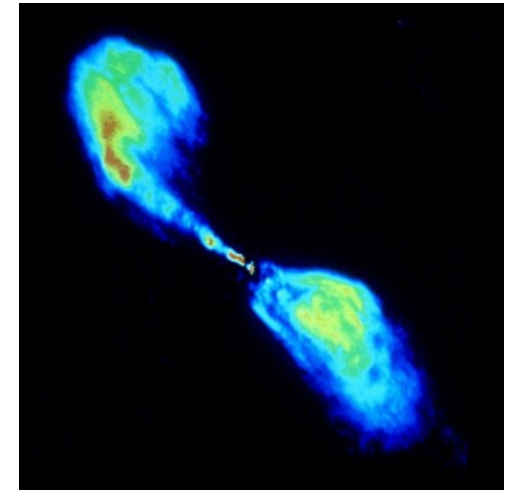
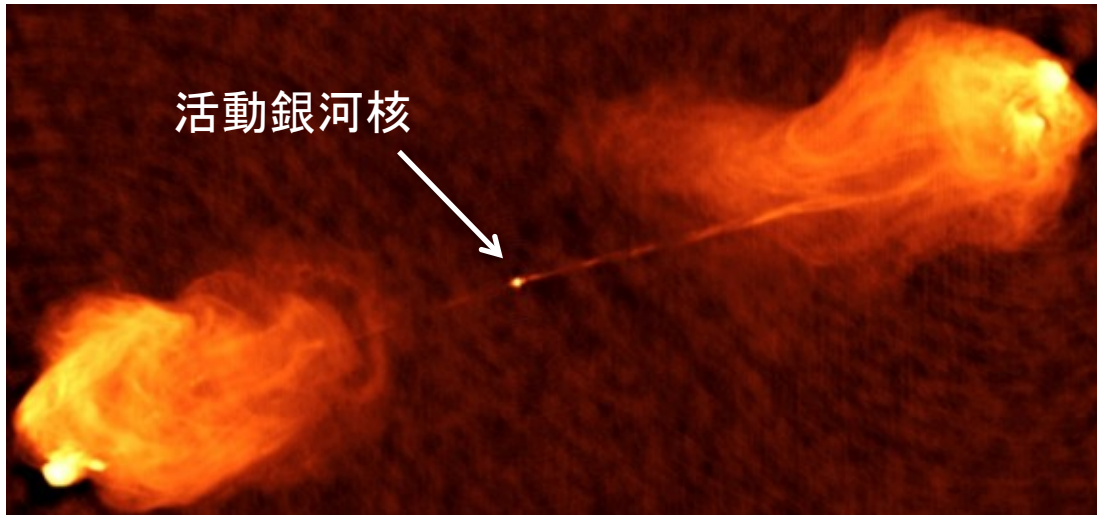


(Chen & Beloborodov 2014)

- PIC計算 + 電子の曲率放射と  $\gamma \rightarrow e^+ + e^-$
- 広い領域で  $e^+e^-$  生成が可能とした場合、準定常的な電流回路が形成される
- 電流シートに沿った電場が  $e^+e^-$  生成  $\vec{E} \cdot \vec{B} \neq 0$  but  $|\rho| \gg |\rho_{GJ}|$
- 高エネルギー粒子が磁力線を横切る

(see also Yuki & Shibata 2012; Philippov & Spitkovsky 2014)

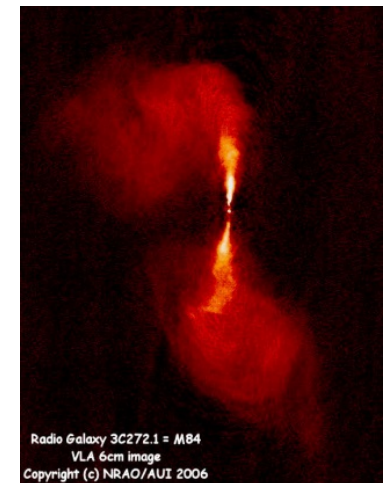
# BH jets



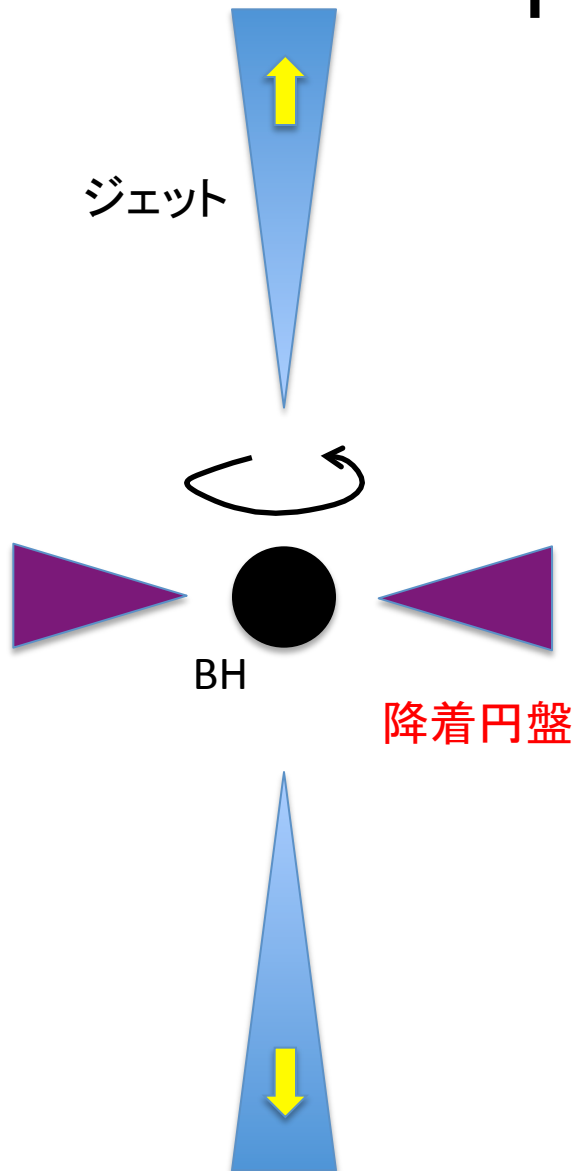
$$L_j \lesssim L_{\text{Edd}} \simeq 10^{46} M_8 \text{ ergs}^{-1}$$

$$\gamma = 10 - 100$$

ガンマ線バーストでは  $L_j \gg L_{\text{Edd}}$   $\gamma > 100$



# 中心エンジン



- パルサーと異なり、BHには降着流が付随するが・・・
- ジェットへの質量流入は適度に調節されているようだ

$$L_j \sim \gamma \dot{M}_j c^2$$

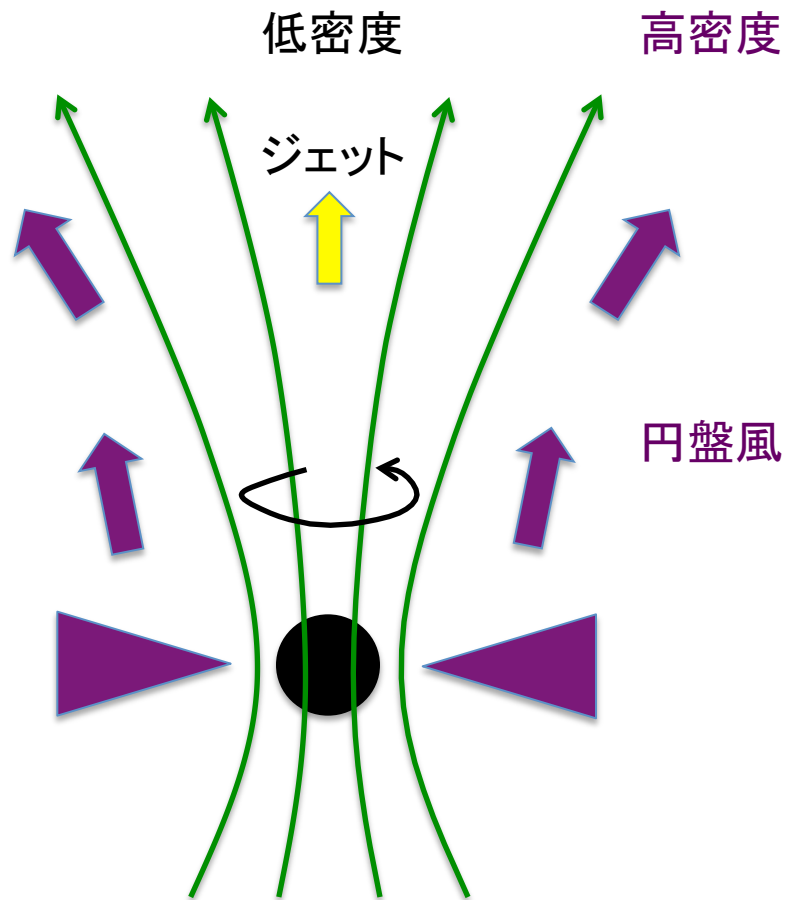
$$n_{\text{GJ}} \sim 10^{-2} B_3 M_8 \text{ cm}^{-3}$$

$$\rightarrow \gamma_{\text{max}} \sim 10^{10}$$

$$\leftrightarrow \gamma = 10 - 100$$

- エネルギー源は何か？
- 質量源は何か？
- 加速機構は何か？
- 収束機構は何か？

# 有力視されているシナリオ



- BH上空の低密度領域にエネルギーを注入
- **ブラックホール回転エネルギーの定常的注入**  
(Blandford & Znajek 1977)  
→ **電磁場優勢ジェット**
- 物質源は不明。非定常過程？中性子注入？(KT & Takahara 2012)
- ローレンツ力(磁気圧勾配、磁気遠心力)による物質加速 (cf. KT & Takahara 2013 PTEP)
- **外側のガス圧で絞る**

# Blandford & Znajek (1977)

- Kerr時空、定常軸対称場
- 無限小回転BH

$$\Omega_H \ll 1$$

- スプリットモノポール場

$$B^r \sqrt{\gamma} = \text{const.}$$

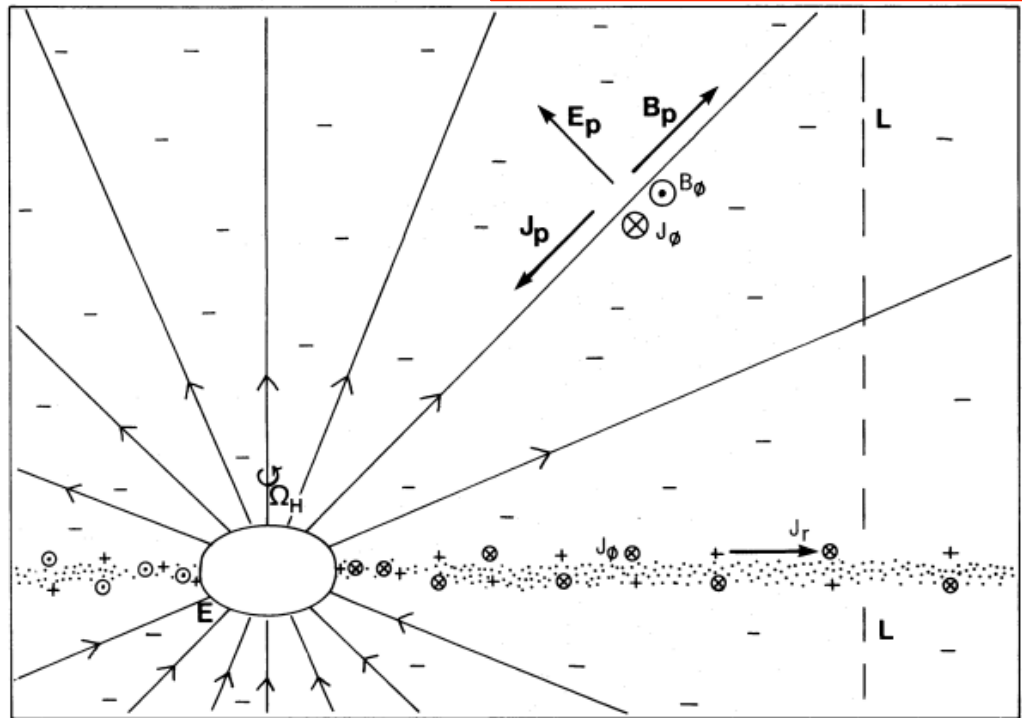
- Force-free近似(電磁場優勢)

$$H_\varphi = \text{const.}$$



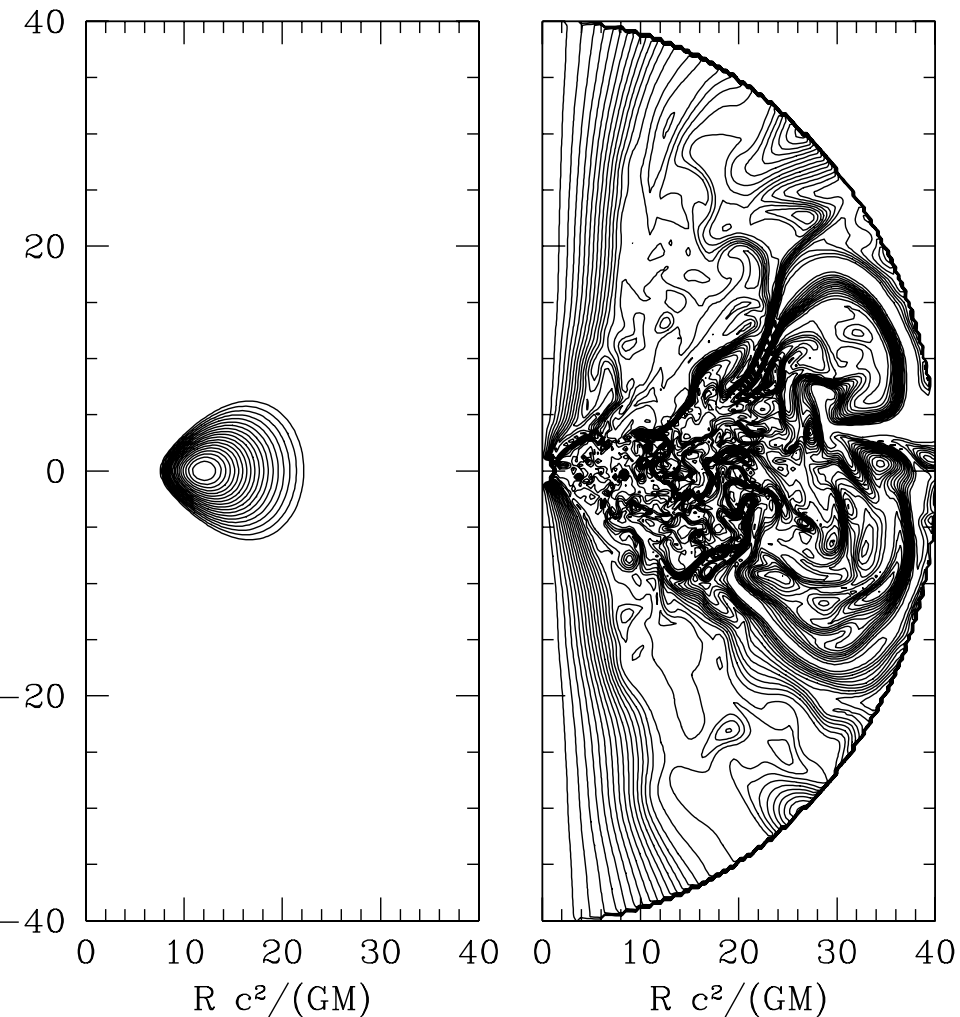
$$\Omega_F = \Omega_H/2 + O(a^3)$$

無限遠での解  $H_\varphi = -2\pi\Omega_F B^r \sqrt{\gamma} \sin \theta$



$H_\varphi = 2\pi(\Omega_F - \Omega_H) B^r \sqrt{\gamma} \sin \theta$  地平面での条件

# Force-free / MHD simulations



(McKinney & Gammie 2004)

- Koide, Shibata, Kudoh (1999-)
- Komissarov, Barkov (1999-)
- Gammie, McKinney, Tchekhovskoy (2003-)
- De Villiers, Hawley, Krolik (2003-)
- See 水田さん、高橋博之さんポスター

- **Kerr時空は固定**
- 初期条件に $B_p$ を設定
- 準定常的なポインティング流速生成

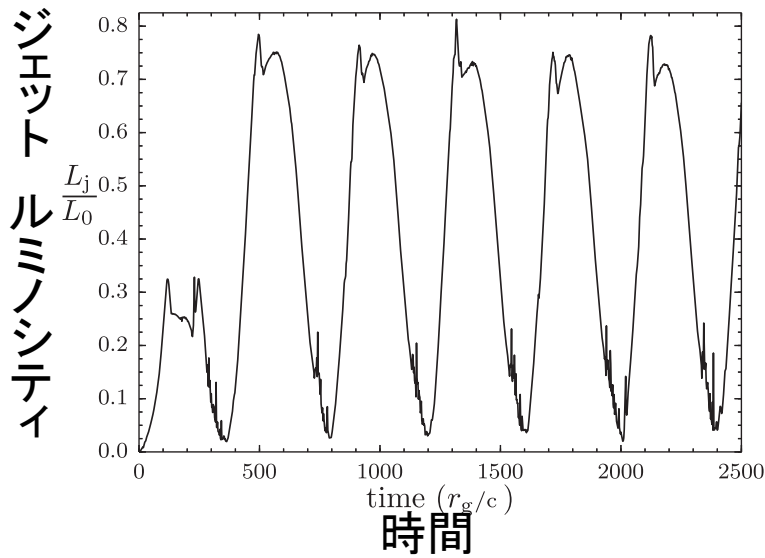
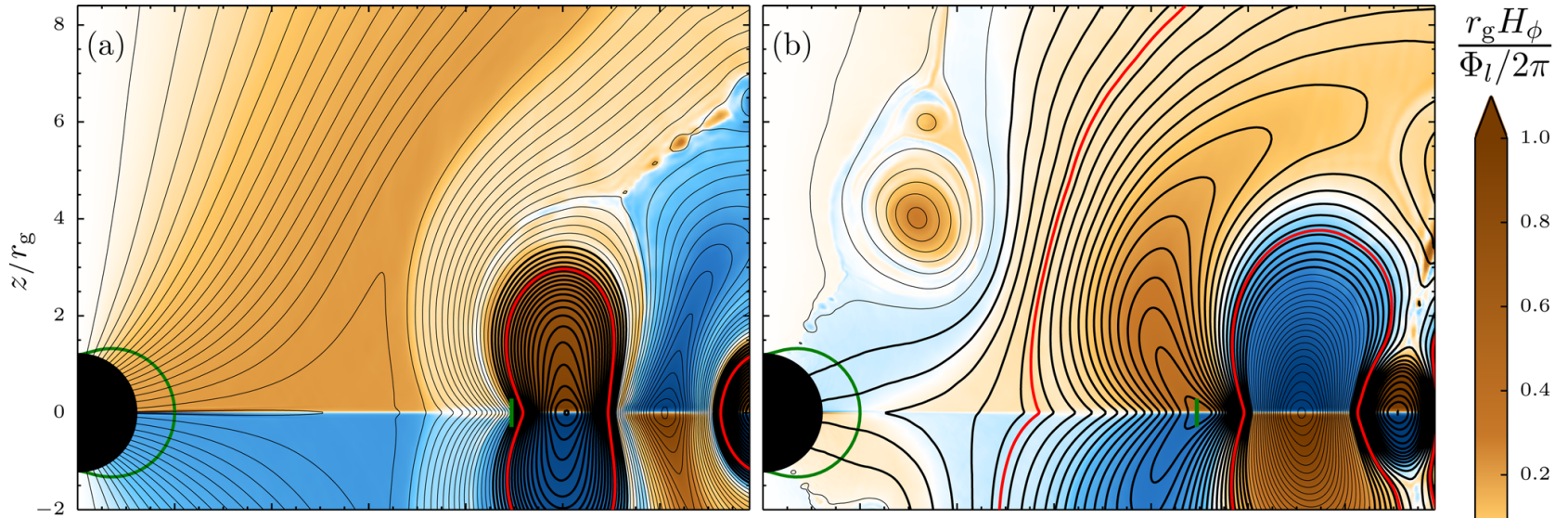
$$L_j > \dot{M}_{\text{acc}} c^2 \quad \text{も可能}$$

- **MHD計算では、粒子を注入し続けなければならない**
- **負のエネルギー粒子なし**(Komissarov 2005)

- 最近では輻射輸送計算が盛ん

# 非定常シナリオ

(Perfrey, Giannios & Beloborodov 2015)



- 反対巻きのB\_pループを順に降着させる
- BHとdiskが逆回転の場合に活動的
- 回転エネルギー → Poynting flux → 軸付近での大規模磁気リコネクションで熱化

# Blandford-Znajek過程についての論点

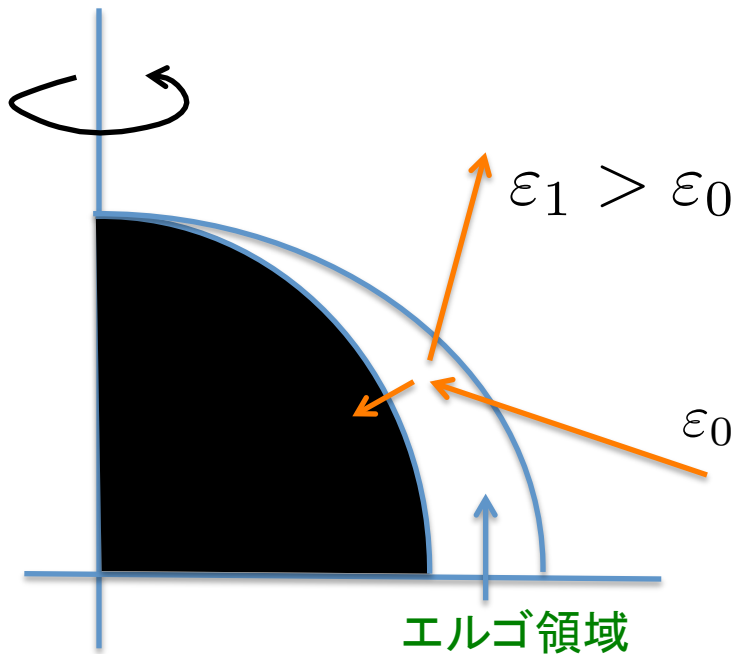
- パルサーでは

$$\vec{E} = -\vec{V} \times \vec{B} \quad \Omega_F = \Omega_s \quad \vec{\nabla} \cdot \vec{S} = -\vec{E} \cdot \vec{J}$$

1. 至る所で電磁場優勢の状況において、**電位差**はどのように生じ、維持されるのか？
2. **電流**はどこで駆動され、どう閉じるのか？
3. BH回転エネルギーはどう**Poynting流速**に転換するのか？ **Penrose過程との関係は？**

# Kerr space-time

$$ds^2 = g_{\mu\nu} dx^\mu dx^\nu = -\alpha^2 dt^2 + \gamma_{ij} (\beta^i dt + dx^i) (\beta^j dt + dx^j),$$



- Boyer-Lindquist 座標
  - 地平面で特異
  - 空間座標は直交
  - これまでほとんどの解析的研究はこれを使っている
- Kerr-Schild 座標
  - 地平面で正則
  - 空間座標は直交していない
  - MHD計算に用いられている

$$\xi_t^2 = g_{tt} = -\alpha^2 + \beta^2 > 0$$

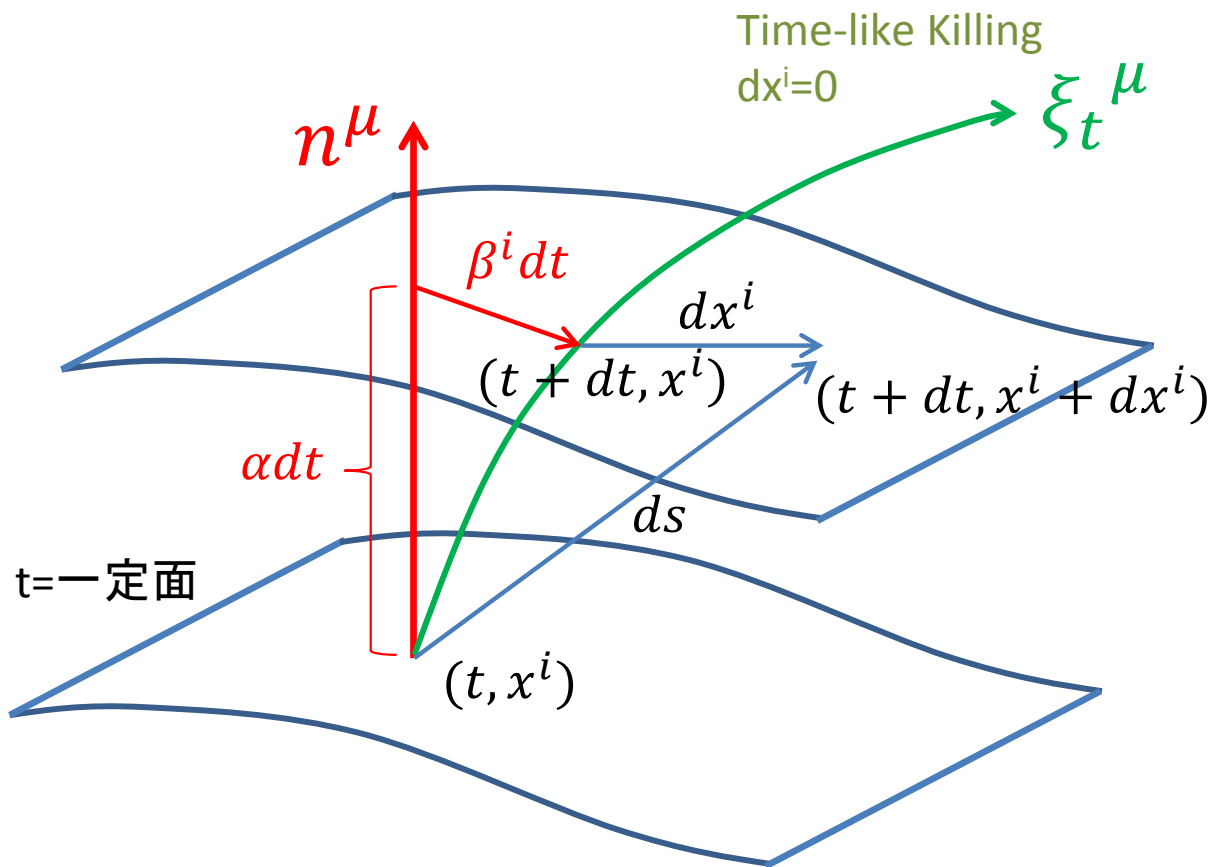
粒子は必ず  $d\varphi_{BL} > 0$

$\varepsilon = -u \cdot \xi_t < 0$  がありえる

$\varepsilon < 0$  粒子を落としてエネルギーを取り出すことが可能  
(Penrose過程)

# 時空の3+1分解

$$ds^2 = g_{\mu\nu} dx^\mu dx^\nu = -\alpha^2 dt^2 + \gamma_{ij} (\beta^i dt + dx^i) (\beta^j dt + dx^j),$$



- $t=一定面$ の法線: **fiducial observer (FIDO)**

$$n^\mu = \left( \frac{1}{\alpha}, \frac{-\beta^i}{\alpha} \right)$$

$$n_\mu = (-\alpha, \vec{0})$$

- FIDOは自然な正規直交基底を張る
- FIDOは角運動量ゼロ (ZAMOともいう)

$$n \cdot \xi_\varphi = 0$$

# 3+1 Electrodynamics

(場の古典論; Komissarov 2004)

$$E^\mu = F^{\mu\nu} \xi_{t,\nu}, \quad H^\mu = -{}^*F^{\mu\nu} \xi_{t,\nu},$$

座標基底に関する電磁場

$$D^\mu = F^{\mu\nu} n_\nu, \quad B^\mu = -{}^*F^{\mu\nu} n_\nu$$

$$n_\mu = (-\alpha, \vec{0}) \quad \text{FIDO or ZAMO}$$

$$\nabla \cdot \mathbf{B} = 0, \quad \partial_t \mathbf{B} + \nabla \times \mathbf{E} = 0,$$

$$\nabla \cdot \mathbf{D} = 4\pi\rho, \quad -\partial_t \mathbf{D} + \nabla \times \mathbf{H} = 4\pi\mathbf{J},$$

$$\mathbf{E} = \alpha \mathbf{D} + \boldsymbol{\beta} \times \mathbf{B},$$

$$\mathbf{H} = \alpha \mathbf{B} - \boldsymbol{\beta} \times \mathbf{D},$$

Poynting flux

$$\partial_t \left[ \frac{1}{8\pi} (\mathbf{E} \cdot \mathbf{D} + \mathbf{B} \cdot \mathbf{H}) \right] + \nabla \cdot \left( \frac{1}{4\pi} \mathbf{E} \times \mathbf{H} \right) = -\mathbf{E} \cdot \mathbf{J},$$

真空解(Wald 1974)では、 $H_\phi=0$ . No Poynting flux.

$$\partial_t \left[ \frac{1}{4\pi} (\mathbf{D} \times \mathbf{B}) \cdot \mathbf{m} \right] + \nabla \cdot \left[ -(\mathbf{E} \cdot \mathbf{m})\mathbf{D} - (\mathbf{H} \cdot \mathbf{m})\mathbf{B} + \frac{1}{2}(\mathbf{E} \cdot \mathbf{D} + \mathbf{B} \cdot \mathbf{H})\mathbf{m} \right] = -(\rho\mathbf{E} + \mathbf{J} \times \mathbf{B}) \cdot \mathbf{m},$$

$$\mathbf{m} = \partial_\varphi.$$

角運動量flux

# Kerr BH 磁気圏

- 外部電流で作られた $B_p$ がエルゴ領域を貫いている
- 磁気圏プラズマは低密度でcollisionlessであるが、次式を満たしてはいる

$$\vec{D} \cdot \vec{B} = 0$$

- 重力はローレンツカに比べて無視できる(地平面ごく近傍を除いて)

$$E = \alpha D + \beta \times B, \quad \rightarrow \quad E = -\omega \times B, \quad \omega = \underline{\Omega_F} m.$$

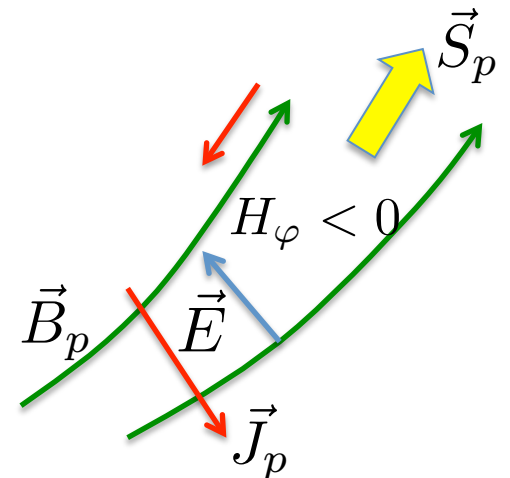
電位差パラメータはパルサーの場合と同様に定義される

定常軸対称として

$$\nabla \cdot \left( -\Omega_F \frac{H_\varphi}{4\pi} \mathbf{B}_p \right) = B^i \partial_i \left( -\Omega_F \frac{H_\varphi}{4\pi} \right) = -E \cdot \mathbf{J}_p,$$

Poynting flux

$$\nabla \cdot \left( -\frac{H_\varphi}{4\pi} \mathbf{B}_p \right) = B^i \partial_i \left( -\frac{H_\varphi}{4\pi} \right) = -(\mathbf{J}_p \times \mathbf{B}_p) \cdot m.$$



# 起電力の起源

$$E = \alpha D + \beta \times B,$$

$$E = -\omega \times B, \quad \omega = \Omega_F m.$$

【命題】  $\Omega_F = 0, H_\varphi = 0$  の定常状態は維持できない。

BL座標で考えると  $B_\varphi = 0$

(KT & Takahara 2014)

$$\vec{E} = 0, \quad \vec{D} = \frac{-1}{\alpha} \vec{\beta} \times \vec{B} \quad \rightarrow \quad D^2 = \frac{\beta^2}{\alpha^2} B^2$$

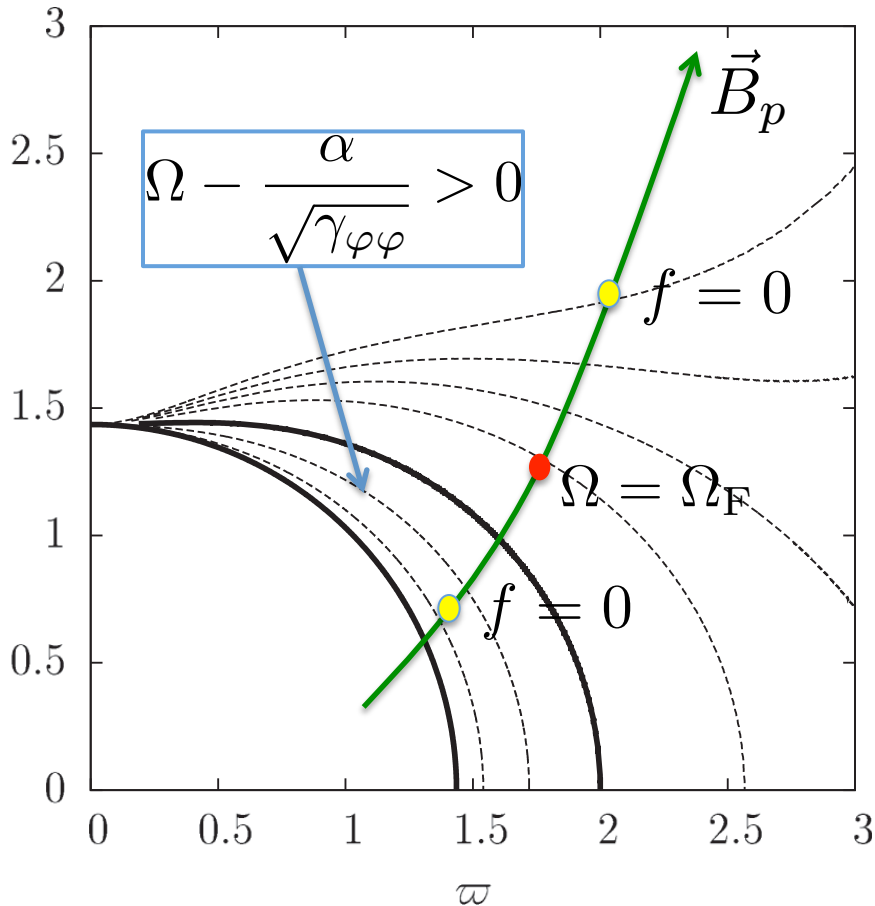
エルゴ領域において  $\alpha^2 < \beta^2 \rightarrow D^2 > B^2$  (KS座標でも同じ結論)

B<sub>p</sub>を横切って電流が駆動され、 $H_\varphi \neq 0$

荷電粒子の流れは電場を弱くする  $\Omega_F > 0, \vec{E} \neq 0$

起電力の起源はエルゴ領域である。地平面は本質的でない。

# 光円柱



- 光円柱の位置

$$f(\Omega_F, r, \theta) \equiv (\xi_t + \Omega_F \xi_\phi)^2 = -\alpha^2 + \gamma_{\phi\phi}(\Omega_F - \Omega)^2 = 0$$

(BL座標)

- 2つの光円柱が存在

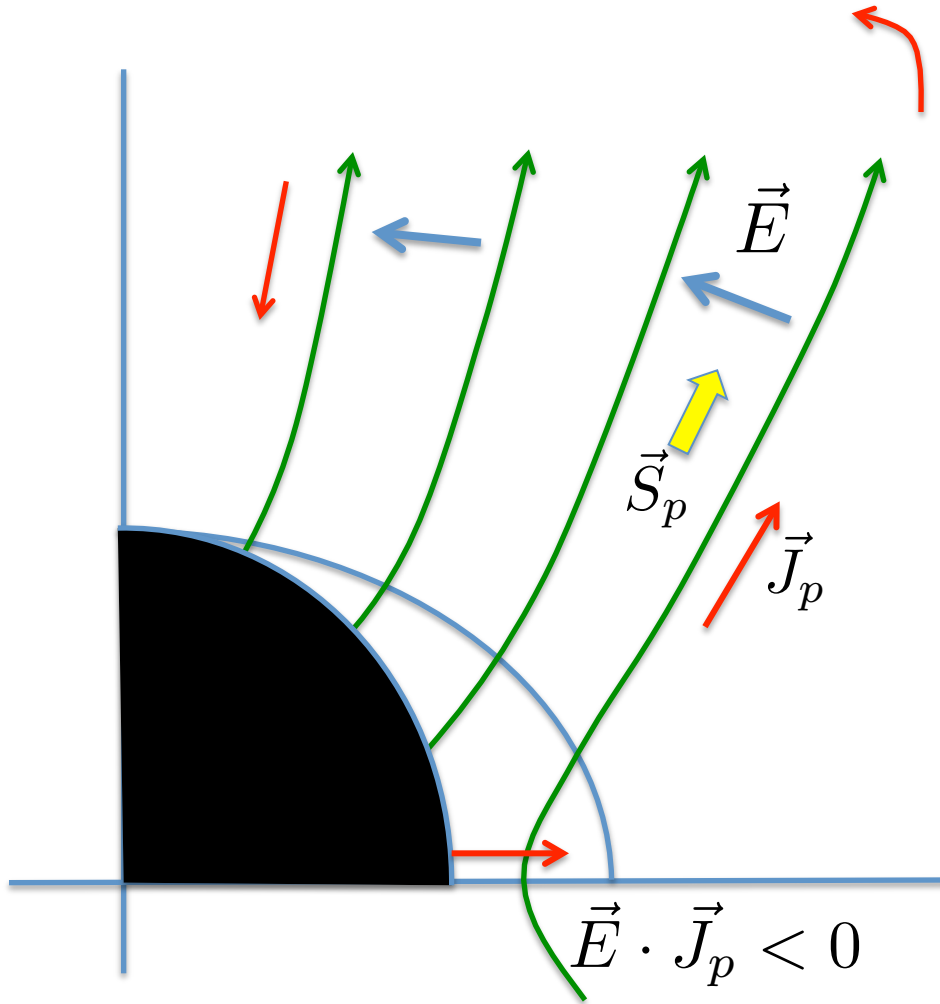
- 外側  $\Omega_F - \Omega = \frac{\alpha}{\sqrt{\gamma_{\phi\phi}}}$

- 内側  $\Omega_F - \Omega = -\frac{\alpha}{\sqrt{\gamma_{\phi\phi}}}$

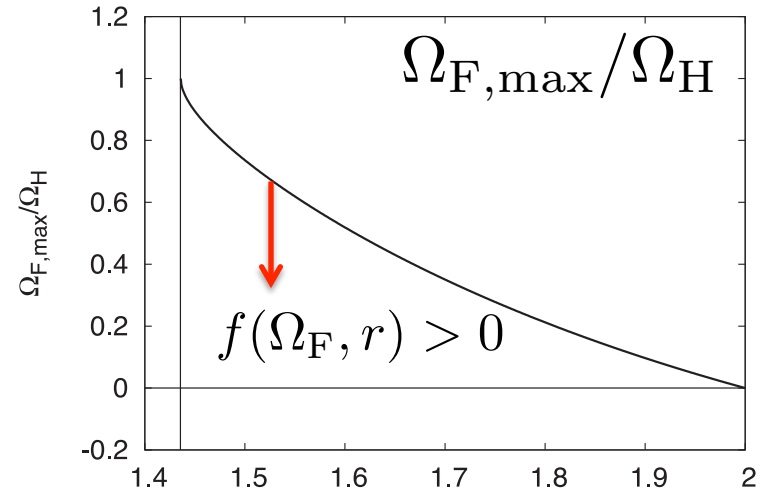
内側の光円柱は必ずエルゴ領域内にある

粒子は $\Omega \sim \Omega_F$ の領域( $f < 0$ )から両側に流れる  
 $\Rightarrow \Omega \sim \Omega_F$ の領域に粒子注入が必要

# 赤道面を貫く磁力線



- エルゴ領域と外側の光円柱を貫く磁力線:  $\Omega_F > 0, H_\varphi \neq 0$
- 電流を駆動するには、どこかで  $D^2 > B^2$  が維持され force-free/MHD が破れている必要がある
- 赤道面近傍で
 
$$(B^2 - D^2)\alpha^2 = -B^\theta B_\theta f$$
- $f > 0$  が必要
- $B \approx D$  として  $\Omega_F$  の値が決まるだろう



エルゴ領域内の赤道面の  $r$

# まとめ

- 偏光：X線・ $\gamma$ 線観測のフロンティア
  - BH時空の検証、強磁場中のQEDの検証
  - ガンマ線バーストの放射機構
- BHジェットの駆動機構
  - Kerr時空による単極誘導
  - 起電力の起源はエルゴ領域
  - 電流は赤道面で駆動されうる
  - 地平面を貫く磁力線についてはforce-free/MHDが成立し、Poynting fluxは粒子を介さず地平面から直接放射される